

姿勢変化を考慮した平面2軸マニピュレータの H^∞ 制御

東京都立大学 システムデザイン学部機械システム工学科 B4 小針 英靖 (児島研究室)

1. はじめに

研究背景

- H^∞ 制御はモデル化誤差のもとでロバスト安定性を実現する強力な設計法であるが、線形制御理論である[1].
- 非線形性の影響が大きくなると制御性能が低下する場合がある。
 - ➡ 本来は**非線形性も考慮した**制御則を設計することが望ましい。

研究目的

線形近似システムをもとにした H^∞ 制御と**非線形システム**をもとにした H^∞ ゲインスケジュールド(H^∞ GS)制御を制御対象に適用し比較する。

2. 制御対象

運動方程式

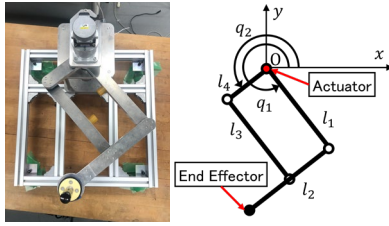
$$M(q)\ddot{q} + C_r(q, \dot{q}) + r_v(\dot{q}) + r_c(\dot{q}) = \tau$$

姿勢変化を表すパラメータ:
 $\theta = \cos(q_1 - q_2)$

補償を含む入力:
 $\tau = u + C_r(q, \dot{q}) + r_c(\dot{q})$

$$M(\theta)\ddot{q} + F_v\dot{q} = u$$

$x_p = [q, \dot{q}]^T$ とし、ディスクリプタ方程式を導出する。また、それを平衡点 x_e まわりで**線形近似**することで、状態方程式を導出する。



ディスクリプタ方程式

$$E(\theta)\dot{x}_p = A_p x_p + B_p u$$

$$y_p = C_p x_p$$

線形近似

状態方程式

$$\dot{\tilde{x}}_p = \tilde{A}_p \tilde{x}_p + \tilde{B}_p u$$

$$\tilde{y}_p = \tilde{C}_p \tilde{x}_p$$

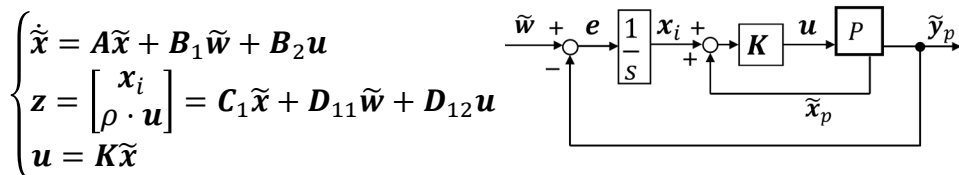
$q = [q_1, q_2]^T$: 関節角度, $\tau = [\tau_1, \tau_2]^T$: トルク, M : 慣性行列,
 $C_r, r_v (= F_v \dot{q}), r_c$: 遠心コリオリ力, 粘性摩擦力, クーロン摩擦力を表す行列,
 $\tilde{x}_p = x_p - x_e, A_p, B_p, C_p, \tilde{A}_p, \tilde{B}_p, \tilde{C}_p$: システム行列

3. 制御手法

H^∞ 制御

- 状態方程式からI-PD系を構成し、 H^∞ 制御問題を考える。
- 目標値 w , 積分器の状態 x_i , 評価量 z とする。

一般化プラント



閉ループ系を安定化し、 \tilde{w} - z 間の H^∞ ノルムを $\gamma(> 0)$ 未満に抑制するための必要十分条件は、次のLMI条件が可解になることである[2].

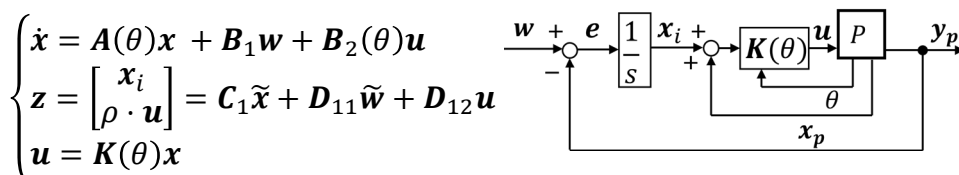
$$\begin{bmatrix} \text{He}[AX + B_2Y] & * & * \\ C_1X + D_{12}Y & -\gamma \cdot I & * \\ B_1^T & D_{11}^T & -\gamma I \end{bmatrix} < 0, \quad X > 0$$

このとき、ゲインは $K = YX^{-1}$ として得られる。

H^∞ ゲインスケジュールド(H^∞ GS)制御

ディスクリプタ方程式からI-PD系を構成し、 H^∞ 制御問題を考える。

一般化プラント



$$\dot{x} = A(\theta)x + B_1 w + B_2(\theta)u$$

$$z = \begin{bmatrix} x_i \\ \rho \cdot u \end{bmatrix} = C_1 \tilde{x} + D_{11} \tilde{w} + D_{12} u$$

$$u = K(\theta)x$$

閉ループ系を安定化し、 w - z 間の H^∞ ノルムを $\gamma(> 0)$ 未満に抑制するための十分条件は、次の θ に依存したLMI条件が可解になることである。

$$\begin{bmatrix} \text{He}[AXE^T(\theta) + B_2Y(\theta)E^T(\theta)] & * & * \\ C_1XE^T(\theta) + D_{12}Y(\theta)E^T(\theta) & -\gamma \cdot I & * \\ B_1^TE^T(\theta) & D_{11}^T & -\gamma \cdot I \end{bmatrix} < 0, \quad X > 0$$

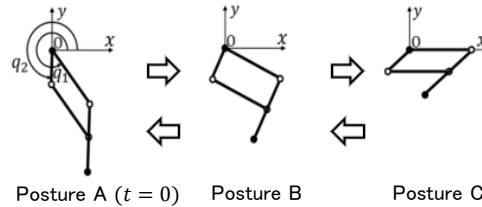
文献[3]より、**パラメータ非依存のLMI条件に緩和**することで、ゲインは $K(\theta) = Y(\theta)X^{-1}$ として得られる。

$$\tilde{x} = \begin{bmatrix} \tilde{x}_p \\ x_i \end{bmatrix}, \quad \tilde{w} = w - x_e, \quad x_i = x_{i0} + \int_0^t e dt, \quad x = \begin{bmatrix} x_p \\ x_i \end{bmatrix}, \quad \rho: \text{入力の重み}$$

$$A = \begin{bmatrix} \tilde{A}_p & 0 \\ -\tilde{C}_p & 0 \end{bmatrix}, \quad B_1 = \begin{bmatrix} 0 \\ I \end{bmatrix}, \quad B_2 = \begin{bmatrix} \tilde{B}_p \\ 0 \end{bmatrix}, \quad C_1 = \begin{bmatrix} 0 & I \\ 0 & 0 \end{bmatrix}, \quad D_{11} = \begin{bmatrix} 0 \\ 0 \end{bmatrix}, \quad D_{12} = \begin{bmatrix} 0 \\ \rho \cdot I \end{bmatrix}$$

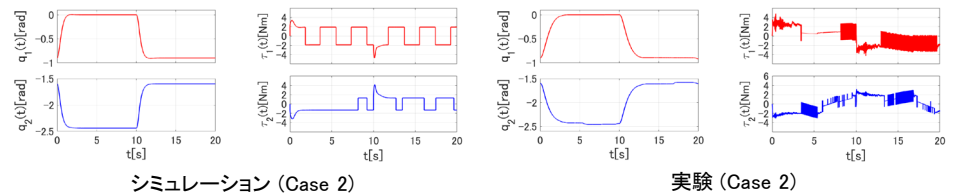
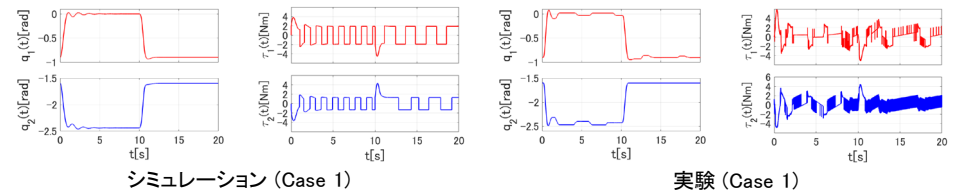
$$A(\theta) = E^{-1}(\theta) \begin{bmatrix} A_p & 0 \\ -C_p & 0 \end{bmatrix}, \quad B(\theta) = E^{-1}(\theta) \begin{bmatrix} B_p \\ 0 \end{bmatrix}, \quad Y(\theta) = Y_0 + Y_1 \theta$$

4. シミュレーションと実験結果



	Angle[rad]		
	Posture A	Posture B	Posture C
q_1	-0.90	-0.45	0
q_2	-1.60	-2.02	-2.44
$q_1 - q_2$	0.70	1.57	2.44

- 目標値は $t \in [0, 10)$: Posture C, $t \in [10, 20)$: Posture Aとした。
- $\rho = 0.1$ とし、ゲインが過大にならないように $X > 0.1 \cdot I$ とした。
- Case 1: 平衡点をPosture Aとした H^∞ 制御, Case 2: H^∞ GS制御。



- Case 1より、 H^∞ 制御では平衡点まわりで滑らかに収束しているが、平衡点から離れた目標値付近で振動している。
- Case 2より H^∞ GS制御では**姿勢変化によらず**滑らかに収束している。
- τ の振動は、入力補償に含まれているクーロン摩擦力を、符号関数で表現していることが原因であると考えられる。

5. まとめと今後の予定

まとめ

- H^∞ 制御は平衡点近辺では優れたロバスト性を発揮するが、広域において制御性能が悪化することが観察された。
- H^∞ GS制御は**パラメータの変化によらず**良好な制御性能を発揮することが観察された。

今後の予定

力学系のシステム表現に基づき、他のモデル化誤差・非線形性に対応するゲインスケジュールド制御法を明らかにしていく。

参考文献

- 杉江, 清水, 井村: 厳密な線形化手法を用いた H^∞ 制御とその磁気浮上系への応用, システム制御情報学会論文誌, Vol. 6, No. 1, pp. 57-63 (1993)
- P. Gahinet, P. Apkarian: A Linear Matrix Inequality Approach to H_∞ Control, *Int. J. Robust Nonlinear Contr.*, pp. 421-448 (1994)
- 児島: アファインな非線形規定を用いたパラメータ依存LMIの解法, 計測自動制御学会論文集, Vol. 55, No. 7, pp. 429-438 (2019)